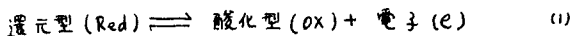


II-118 活性汚泥と酸化還元電位

北海道大学工学部 正員 神山 一
学生員 畠口 尚弘

1. 緒言 活性汚泥法における曝気槽管理の実験を行なうたので、それにつけて報告したいと思う。曝気槽の中では、微生物が與する酸化還元反応(OR反応)が起つており、一般に次のよき式で書くことができる。



$$\text{この反応の標準状態における自由エネルギー} - \Delta F^\circ \text{は} \quad \Delta F^\circ = F_{\text{ox}} - F_{\text{red}} \quad (2)$$

式中 F_{ox} , F_{red} はそれぞれ酸化型, 還元型の自由エネルギーを表す。

OR反応が平衡状態にある時、その水溶液に不活性金属(普通は白金電極)を挿入すると半導池を形成し、つらく比較電極(普通はカロメル電極)と組合せることによると、その系に特有の電位を測定することができる。これを酸化還元電位(OR電位)と呼ぶ。平衡状態が崩れると、それにつれて電位を変わる。OR電位と自由エネルギーとの間に $\Delta F = nFE_A$ (3) の関係があり、式中 n : 移動電荷数, F : フラントン定数, E_A : t 時のOR電位である。式(2)式より ΔF° が測定されれば、 F_{red} が F_{ox} より大きいかどうかを知ることができる。(1)式を変形すれば次のようになる。

$$E_A = E_0 + \frac{RT}{nF} \ln \frac{[\text{OX}]}{[\text{Red}]} \quad (4)$$

式中 E_0 : 基本特有電位 $[\text{OX}] = [\text{Red}]$ の時 E_0 は零である。 R : 気体恒数 T : 絶対温度

OR電位はエネルギー量を示す容量的なものではなくから、その絶対値の意義はない。これは電子を放出したり、受けたりするかの傾向の強さを示す強度因子であるので、反応が進行するにつれて、変化する割合から反応進度を知ることができる。

活性汚泥と下水と空気を遮断して混合、攪拌するとき、OR電位は低下し、指数式であらわすと直線となつて、もとより曲線かつフットレス電位を除むことは、次のようになる。

$$\frac{d(E - E_u)}{dt} = -K_p E \quad (5)$$

初期電位を E_0 とするとき

$$\frac{E - E_u}{E_0 - E_u} = e^{-K_p t} \quad (6)$$

式中 E : 時間 t の時 OR 電位 (mV), E_0 : 初期電位 (mV), E_u : 鮎塩電位 (mV)

K_p : OR 電位低下速度恒数。常用対数を用ひて時間 K_p ($1/\text{hr}$), t : 時間 (hr)

活性汚泥の中の微生物は脱水素酵素の働きにより、水素を放出する還元反応を行なう。したがって微生物の活動の活性があげてあるほど OR 電位の低下は早くなるのである。

2. 実験とその結果

札幌市東駒内下水処理場ホスプロ目1.5トニのパ
イロットプラントの活性汚泥と下水の混合
液について求めた k_p の値を表-1, 2に示した。

次にパイロットプラントの運転を開始して、活性汚泥が生成率 R_p につけ、 R_p が 0.8 hr^{-1} に変化した時にかけ飛行図-2に示す。

混合流のサニフリニアは曝氣槽流入端に近づく
成長するが、遠端汚泥と下水がよく混合したと思
われる處を観察する、飛行図-1、以後同一地點
から採水する。

3. 考察

測定回数が少ないので、結論づけ3の付写真²
あるが、基質に家庭下水を用いて本実験に適する
限りで、 R_p の値が1.3は1.0~1.2の間にあり時間が
増加する最も良い運転状態にありことを知れた。
この R_p はBOD負荷、温度、PH、混合度、
溶解酸素、水理学的因素などの関数である。

子図-2の R_p の最高値時は基質の種類が異なりた
めか、 R_p を上回れず、しかし使用年月にあた
ては、前記実験結果より検討してみたが、
廻水処理の曝氣槽管理示標¹より後立ち得
るも R_p を倍する。

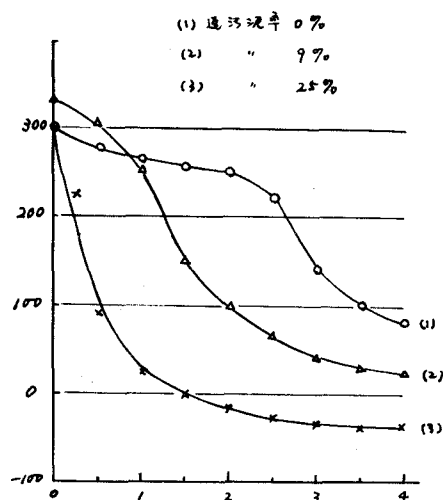


図-1 OR電位降下曲線

BOD除去率(%)	$\frac{\text{BOD}_{\text{初期}}}{\text{BOD}_{\text{残り}}}$	R_p (hr ⁻¹)	k' (hr ⁻¹)
79	0.65	1.14	0.11
68	3.11	0.81	0.12
64	0.23	1.50	0.12
62	0.58	1.52	0.11
60	0.78	1.53	0.17
35	?	1.73	0.07

表-1

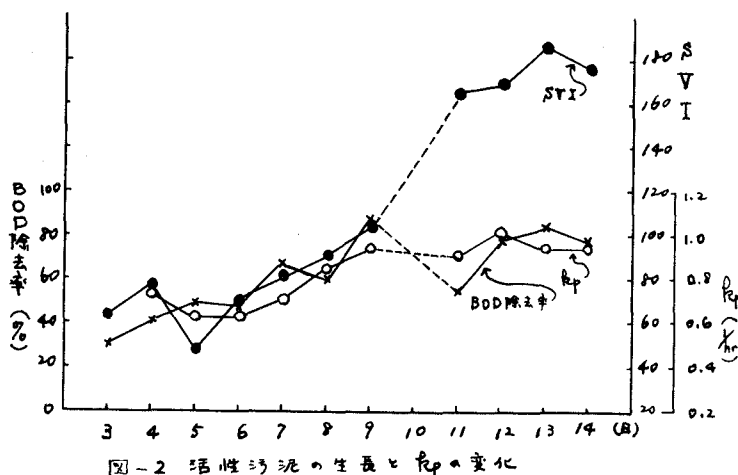


図-2 活性汚泥の生長と R_p の変化